

# 薄壁空间体系的 建筑力学

М. В. 伏拉索夫 著

建筑工程出版社

# 薄壁空間体系的建筑力学

滕智明 譯

建筑工程出版社出版

• 1957 •

本書系統地敘述了作者運用在建築中常見的薄壁空間結構上的理論。  
書中有梭壳與板的強度和穩定性的計算方法，並且包括將壳與板的理論的  
兩向度連接問題化為單向度問題的一般變分法。  
本書的對象是科學工作者、設計工程師和研究生。

#### 原本說明

書名 ОСТРОИТЕЛЬНАЯ МЕХАНИКА ТОНКОСТЕННЫХ ПРОСТРАНСТВЕННЫХ СИСТЕМ

著者 В. З. Власов

出版者 Государственное издательство строительной литературы

出版地点及日期 МОСКВА—1949

#### 薄壁空間体系的建筑力学

滕智明譯

\*

建筑工程出版社出版 (北京市阜成門外南羅士路)  
(北京市審刊出版業營業許可證出字第 052 號)

建筑工程出版社印刷廠印刷·新華書店發行

書名538 520千字 787×1092 1/16 印張 23 1/2 頁面 6  
1957年11月第1版 1957年11月第1次印刷  
印數：(平) 650 冊 定價：(平) 4.80 元  
印數：(精) 470 冊 定價：(精) 5.90 元

## 目 录

序 言 .....	5
第一章 棱壳型及筒壳型薄壁空间体系的理论 .....	7
第 1 節 基本假定 計算模型 組成壳的矩形板 .....	7
第 2 節 未知函数 基本体系 壳的單元状态 .....	17
第 3 節 棱壳的八項微分方程 这些方程的矩阵及矩阵的基本性质 作为壳理論 的特殊情形的薄壁杆件理論 .....	31
第 4 節 具有自由縱向边缘的棱壳的微分方程組成举例 .....	40
第 5 節 在任意已知的縱向边缘边界条件下棱壳微分方程的組成 .....	62
第 6 節 用三角級數法积分微分方程 .....	74
第 7 節 在任意已知曲綫边缘条件下棱壳的一般实用計算方法 梁的横向振动基 本函数对于积分八項微分方程的应用 .....	79
第二章 应用在建筑业中的新型薄壁屋盖結構的受力分析 .....	95
第 8 節 与已知横向边缘边界条件有关的壳的受力分析 .....	95
第 9 節 与已知縱向边缘边界条件有关的壳的受力分析 .....	114
第 10 節 应用扇面积定律計算肋形的筒壳及棱壳 .....	122
第 11 節 四边支承的筒壳 与平面尺寸(長与寬)比值有关的应力状态分析 .....	130
第 12 節 由剪切变形不存在的假定得出来的棱壳的几何性质 .....	141
第 13 節 与平面尺寸比值有关的三跨車間屋蓋結構的空间受力分析 .....	145
第三章 将壳及板的理論中的复杂的兩向度連接問題化为單向度問題的一 般变分法 .....	159
第 14 節 基本假定 .....	159
第 15 節 将壳理論中的兩向度連接問題化为常微分方程系的一般变分法 .....	162
第 16 節 边界效应 广义內力 縱向及横向双力矩 .....	168
第四章 橫截面具有任意已知剛架形状的棱壳的計算方法 .....	173
第 17 節 具有一个截面扭曲及周綫变形自由度的壳 具有單跨剛架型橫截面的 薄壁空間結構的計算例子 .....	173
第 18 節 具有單跨双層剛架型橫截面的薄壁結構的空间受力 .....	192
第 19 節 双層的多連壳型式的薄壁頂蓋和樓蓋 .....	210
第 20 節 正交各向異性的机翼型多連横截面的薄壁結構 將方法推广于錐形壳 .....	224
第 21 節 橫截面具有可变封閉周綫的薄壁杆 .....	241
第 22 節 具有剛性封閉周綫的薄壁杆的扭轉 .....	257
第五章 橫截面具有可变周綫的棱壳、薄壁杆及組合柱的稳定性 .....	264
第 23 節 橫截面具有可变封閉周綫的正交各向異性的棱壳和薄壁杆的稳定性 .....	264
第 24 節 由縱梁及正交各向異性板組合成的薄壁杆和柱的稳定性 .....	267
第六章 矩形板及組合梁的平面应力状态 .....	277

第 25 節	开口剖面薄壁組合梁的精確的弯曲理論.....	277
第 26 節	矩形板的平面应力狀態 將双和諧方程化为常微分方程的兩個方法.....	288
第 27 節	梁的初等弯曲理論.....	293
第 28 節	計算高腹板梁的修正的平截面假定.....	294
第 29 節	理論在彈性地基梁弯曲問題中的应用 溫克勒-蔡米尔門假定的修正 .....	297
<b>第七章</b>	<b>板的弯曲理論 .....</b>	<b>300</b>
第 30 節	薄板的变形理論 將彈性力学的一般三向度問題化为二向度的問題.....	300
第 31 節	板弯曲时的靜力值及几何值之間的关系.....	304
第 32 節	靜力条件 基本微分方程.....	308
第 33 節	有界限板的弯曲 周綫条件 問題在数学上的簡明陳述.....	312
第 34 節	板弯曲的最簡單的情形(逆向問題).....	317
<b>第八章</b>	<b>具有不可动肋的矩形板和棱壳的計算理論 .....</b>	<b>323</b>
第 35 節	引言 最終形式的解和無窮級數形式的解.....	323
第 36 節	將矩形板的弯曲問題化为常微分方程.....	324
第 37 節	撓度横向分布函数的选择 基本函数 馬利斯利威方法和它的推广.....	328
第 38 節	力矩及横向力的計算 縱向边缘的靜力条件.....	329
第 39 節	用靜力法選擇撓度的横向分布函数 在薄壁空間体系計算上的推广.....	331
<b>第九章</b>	<b>具有不可动肋的矩形板及棱壳的实用計算法 .....</b>	<b>334</b>
第 40 節	問題的提出.....	334
第 41 節	作为撓度綫的分布函数 基本微分方程.....	335
第 42 節	广义位移及广义力.....	337
第 43 節	横向边缘的边界条件.....	338
第 44 節	板及板形体系的約束扭轉和筒形弯曲.....	338
第 45 節	具有不可动肋和不可动边缘的板和壳的弯曲.....	343
第 46 節	將微分方程化为無因次坐标的方程 相对彈性特征.....	346
第 47 節	齐次方程的一般积分.....	347
第 48 節	应用特殊积分来积分非齐次微分方程.....	350
第 49 節	应用初参变数法积分非齐次微分方程.....	352
<b>附 录 .....</b>	<b>363</b>	
<b>俄中技术名詞对照表 .....</b>	<b>373</b>	

## 序 言

本專題論文所闡述的是橫截面具有任意已知外形的棱壳 (Призматическая оболочка) 型及筒壳 (Цилиндрическая оболочка) 型薄壁空間体系的一般理論和計算方法。

这个理論是以作者远在 1931 年所提出的新的变分法为根据的。这个变分法使我們有可能与文献中已詳細探討过的、靜不定杆系建筑力学的方法很好的結合起来，把壳体的复杂的偏微分方程化为常微分方程。这种常微分方程的構造，和剛架理論中的典型方程一样，是对称的。

作者的方法与文献中人所共知的里查—齐莫申科，布勃諾夫—加列尔庚的变分法的不同之点在于：在作者的方法中，与兩個变数有关并且能滿足偏微分方程的未知函数(例如，彈性板弯曲問題中的撓度)，是以兩個函数乘积的形式出現的。其中一个函数是一个变数的已知函数，而另一个函数是另一个变数的未知函数。在作者根据直接应用虛位移原理所構成的变分法中，沒有采用里查—齐莫申科或者布勃諾夫—加列尔庚的方法中所有的、由彈性代数方程来計算的未知常系数，而是引用一組未知函数，其中每一个都仅仅与一个坐标有关，并且是由彈性常微分方程来計算的。与这个变分法相应的、壳的計算模型，为一薄壁空間彈性体系，它所具有的自由度在一个座标方向內为有限值，在另一座标方向內为无穷大。这种体系，作者称之为隔離連續体系 (Дискретно-континуальная система)。

建立在平截面假定之上的梁的初等弯曲理論，实际上也是以变分法为基础的。这种变分法將平面問題中的双和諧方程化为常微分方程。同样地，作者所研究出来的、建立在截面形状无变化的假定之上的、更一般的薄壁杆件理論，在思想上也接近于本專題論文所闡述的薄壁空間体系的一般理論。无论是在弯曲情形下的梁，或者是更一般的复杂抗力情形下(弯曲和扭轉)的薄壁杆件，它們的計算模型都是受相应物理假定所限制的隔離連續体系。

本專題論文中所闡述的薄壁空間体系建筑力学，在思想上就是現代初等材料力学中某些基本原理的邏輯上的发展和推广。

筒壳及棱壳可以分为三种：長壳、中等長度壳及短壳。作者將薄壁杆件划为長壳一类，对于这种薄壁杆件可以应用横截面形状无变化的假定。中等長度的壳是一种具有变形截面的、仅在横方向能抗弯的壳。最后一种短壳，就是除了須考慮横向弯矩以外，同时还要考慮縱向弯矩及扭矩的壳。

本書所闡述的是关于中等長度的棱壳及筒壳的理論。周面为任意已知表面的壳的理論，特别是筒形短壳的理論，已在另一本叫做“壳的一般理論及其在技术中的应用”的著作中加以闡述。

中等長度壳計算中的一些个别問題在我們以前的著作(“筒壳及褶壁体系的新实用計算法”，国立建筑出版社1933年；“壳的建筑力学”，国立建筑出版社1936年)中曾經介紹过。

本專門論文表明，薄壁杆件理論是在本書及上述兩書中所闡述的中等長度棱壳的更一般的理論的特殊情形。

作者利用了自己在“彈性薄壁杆件”(國立建築出版社1940年)一書中所引用的一些新的概念和術語(扇面積定律、截面的扇性扭曲、扇性慣矩、扇性雙力矩)，並將它們推廣到本書所討論的更為複雜的關於壳的建築力學問題上來。這些概念和術語從作者發表第一部關於薄壁杆件理論的著作時起，就已在蘇聯和國外得到了公認。但是作者始終認為，在自己以前的著作以及本書中所提出的某些術語將來是可能被更完善的術語所代替的。

作者僅向A.A.格沃茲傑夫、B.N.熱莫契庚、B.M.凱爾德什、П.Л.拍斯切爾納克、И.М.拉賓諾維奇、H.C.斯特烈列斯基、M.M.菲洛寧柯—波羅基契及И.Я.施搭爾曼等教授致以深刻的謝意，感謝他們在研究這個理論的過程中所給與的精神上的支援；作者對技術科學博士C.C.果盧什凱維奇教授在詳閱原稿時所給與的寶貴指示表示感謝，並向校閱原稿的技術科學副博士A.K.姆羅興斯基、H.Г.達布多格洛、H.Я.格留別爾格及Я.Б.烈文諸同志表示感謝，最後並向中央工業建築科學研究所的青年科學工作者B.C.華西里果夫、H.Д.列溫茨基、И.Е.米列依果夫斯基及Ф.А.彼爾恩表示感謝，感謝他們在本理論應用於個別問題上時所準備的圖例材料。

莫斯科中央工業建築科學研究所1947年

作 者

# 第一章

## 棱壳型及筒壳型薄壁空间体系的理論

### 第1節 基本假定 計算模型 組成壳的矩形板

我們來研究一下由有限數目的矩形薄板所組成的棱壳，此壳具有某種任意已知折線形的橫截面（圖1）。假設組成壳的矩形板彼此在連接綫（棱形中間面的肋）處的結合是剛性的，因為在連接（接觸）綫的每一點上，一板對另一與它相連接的板的任何可動性都不存在。

假定中間面上任一點M的位置，我們用坐 $z$ 標和 $s$ 來確定。坐標 $z$ 是從某一 $z=0$ 的、假定為起始截面的橫截面起，沿母綫方向到M點為止的距離，而坐標 $s$ 是從某一 $s=0$ 的母綫起到橫截面周綫上的M點的距離。

壳是兩向受拉受弯的薄壁空間彈性體系，其應力狀態為兩組力所決定（圖2）。其中，一組由作用在中間面上的法向力及剪力所構成（圖2a）。這種力決定著壳板的所謂平面應力狀態。另一組力由作用在壳的兩個相互正交的法向截面上的彎矩、扭矩及橫向力（或切力）所組成。這些力是由於每個板單獨地彎曲而產生的（圖2b）。

根據作用在兩個相互正交的法向面積上並與中間面平行的切應力的成對定理可以知道，剪力也和壳橫截面及縱截面面積上的扭矩一樣，是彼此相等的。

因此，壳的任一點的應力狀態，在一般情形下為八個獨立的力所決定，即法向力 $T_1$ 、 $T_2$ ，剪力 $S$ ，彎矩 $G_1$ 、 $G_2$ ，扭矩 $H$ 及橫向力 $N_1$ 、 $N_2$ 。這些力是各對中間面的橫截面或縱截面的單位長度來說的。

對於這些力，我們採用下述的符號規則。如果面積的外向法綫相應地指向坐標 $z$ 或 $s$ 的增長方向，則在此面積上沿該法綫方向作用的法向力 $T_1$ 及 $T_2$ 為正；假如在同一面積上，剪力 $S$ 指向坐標 $z$ 或 $s$ 的增長方向，則剪力 $S$ 也是正的（圖2a）。

如果在同一面積上的橫向彎矩 $G_1$ 和 $G_2$ ，使板彎曲而且彎曲面是向下凸出的，則 $G_1$ 、 $G_2$ 為正。而與 $G_1$ 、 $G_2$ 相應的橫向

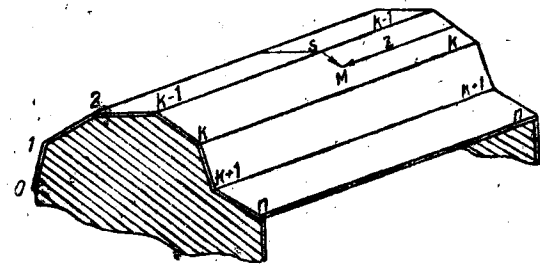


圖 1

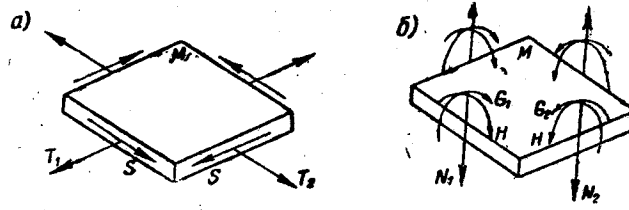


圖 2

力  $N_1$  及  $N_2$ , 如方向向下, 則為正(圖26)。在對面積上, 如方向與此相反, 則上述各力皆為正。

壳中間面的變形狀態在每一點上為六個獨立值所決定, 即: 與力  $T_1$ 、 $T_2$  及  $S$  相應的伸長變形及剪切變形; 與力矩  $G_1$ 、 $G_2$  及  $H$  相應的彎曲變形及扭轉變形。

中間面上通過已知點  $M$  并具有任意已知方向的綫度單元的單位伸長, 決定於剪切變形及兩相互正交方向的伸長變形。

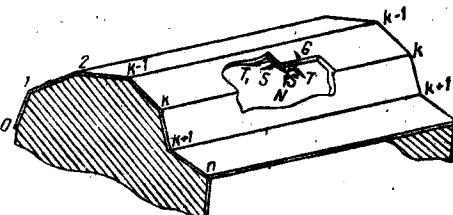
因此, 這些變形是與中間面的拉力相關的。知道這些變形以後, 我們就可以根據它們求得中間面上  $M$  點附近的任意幾何圖形的改變。

扭轉變形及兩相互正交方向的彎曲變形, 是與板的中間面變形後所形成的曲面的曲率相關的。由這三個獨立值即可決定中間面上通過點  $M$  的任意法向截面的交線的曲率。

許多年來, 在中央工業建築科學研究院(ЦНИПС)進行的理論及試驗研究表明, 對於相當長的殼體, 在上列各靜力因素中, 起主要作用的是軸力①(法向力及剪力)  $T_1$ 、 $T_2$ 、 $S$  和橫向彎矩  $G_2$  及與它相應的橫向力  $N_2$ 。薄壁空間體系棱殼的應力狀態基本上取決於這些力和彎矩。

至於說到由於各板沿母線方向離開本身平面的彎曲而產生的縱向彎矩  $G_1$ (與橫向力  $N_1$  在一起)以及與扭轉變形相關的扭矩, 那麼, 這些力矩在棱殼的一般應力狀態中通常都是次要因素, 對由於法向力和剪力所引起的基本應力狀態影響極小。

在棱殼的變形中, 當母線方向的長度相當大時, 影響軸力(法向力及剪力)狀態的主要因素是縱向的伸長變形以及沿橫截面周線的彎曲變形。



端应力具有同一的数值。由于数值极小而略去纵向弯矩及扭矩，就等于同时略去了在薄壳横截面上与中间面平行的法向应力及切应力是沿壳厚非均匀分布的因素。

第二个假定是对壳的变形而言的，因此，是几何假定。按照这个假定，棱壳被看作是一个薄壁空间连续体系，其中间面的变形应如下述：第一，中间面在  $z = \text{常数}$  周线上的线度单元，其原有长度不变；第二，直线  $z = \text{常数}$  及  $s = \text{常数}$  间的直角，变形后仍为直角。棱形中间面的变形，可以由于该面的仅沿纵向的拉伸以及由于组成该面的矩形薄条的弯曲和扭转而产生。

应该指出的是，剪切变形不存在的假定，主要是对沿母线方向有相当长度的棱壳来说的。在我們的一篇著作<sup>①</sup>中有不受这个假定限制的壳的精确计算方法。这个方法适用于研究多连杆壳的应力和变形，所謂多連杆的壳，就是横截面是由一根或几根闭合线所组成的壳（机翼型壳）。

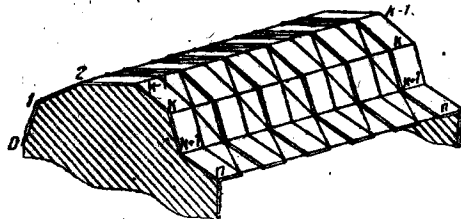


圖 4

采用了这些假定就可以确定壳的计算模型。如果把壳分成许多横向的单元条形，则其中的每一条我們都可以看作是平面折杆。这个折杆是由不能拉伸，但在壳的横截面平面中可以弯曲的构件所组成的。如果这个平面上的各个构件在周线节点上（在棱形面的肋上）的联结是刚性联结时，它们就形成一个刚架型的杆系，

它在本身平面中能承受拉伸（压缩）及弯曲，而在垂直于这个平面的方向能承受剪切。因为根据静力假定，在壳横截面上只可能产生作用在中间面上的法向力和剪力，所以我們應該認為在两个相邻的单元刚架之间有联系，这种联系把纵向法向力和剪力从一刚架传给另一刚架。

图 4 中分布在中间面上的许多小杆件就是这种联繫。

在计算模型中，壳的矩形板有如一平面铰接杆系，它只承受作用在这个体系平面中的力，而完全不抵抗扭转及离开本身平面的纵向弯曲。

因此，我們可以把壳体看作是一个薄壁空间连续体系。它由无数多的横向受弯单元刚架所组成，并在纵方向具有不受弯矩的构造。至于壳体的板，只在纵方向能够拉伸，它们好像形成为横向单元刚架的連續彈性介質<sup>②</sup>，以抵抗这些刚架的弯曲变形。

这里所研究的棱壳与具有刚性周线的薄壁杆件不同，前者除了沿母线的拉伸变形以外，还有为横截面周线形状的改变所引起的横向弯曲变形。

假设壳体是由矩形板组成的，并且壳的边缘——纵向的及横向的——用某种方式固定下来，不会发生位移。用  $k$  代表壳肋及壳板的顺序号。我們將認為肋及板的号数是沿着周线坐标  $S$  的正读数方向增大的，并且对位于  $k-1$  和  $K$  肋之间的板，采用  $k$  肋的号数。

現在我們來研究一下作为壳体單元的任意矩形板的应力和变形的問題。

根据前面的假定，我們認為这是一块窄板，其宽度应不大于壳長的 $1/5$ 。

① B.3.符拉索夫：多連杆棱形壳的計算（“應用數學及力學”第十三卷，1944）。

② 原文為Упругая среда，直譯為彈性介質，意即僅在縱方向有拉伸的壳板，相當於橫向單元剛架的彈性支承，此彈性支承主要為板橫截面上的剪力，由此剪力轉而使板中產生縱向拉（壓）力——譯者注。

自板中間面上取出一边長為  $ds$ 、 $ds$  的無限小的單元體  $Macb$ (圖5a), 在單元體的橫邊  $Mb$  及  $ac$  上將只作用有位於中間面內的法向力及剪力。

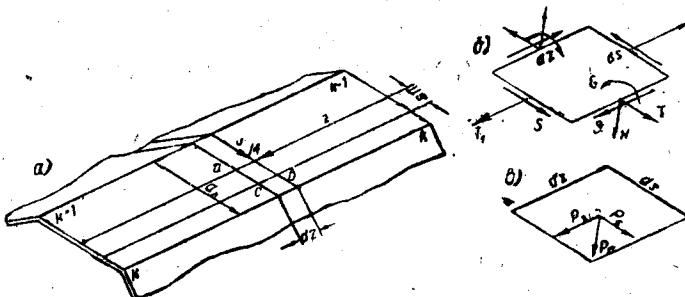


圖 5

在縱邊  $Ma$  及  $bc$  上, 除了板邊上的法向力及剪力外, 單元體上并受有彎矩及橫向力。所有這些力都是對單元體相應各邊的單位長度來說的, 如圖 5b 所示。

除了上述沿矩形周邊作用的力以外, 并將有已知的外力作用在單元體上。

單位面積上壳面荷載的矢量, 我們用三個分量  $P_z$ 、 $P_s$  及  $P_n$  来表示。其中前兩個作用在板的中間面內, 第三個與中間面垂直(圖 5b)。

板在離開本身平面的彎曲情形下, 其單元體的平衡條件可導出下列的方程:

$$\left. \begin{aligned} \frac{\partial N}{\partial s} + p_n &= 0; \\ \frac{\partial G}{\partial s} - N &= 0. \end{aligned} \right\} \quad (1.1)$$

方程(1.1)的第一式表明, 所有作用在單元體上的力在與板垂直的方向上的投影總和等於零。對於通過  $M$  點並與母線平行的直線來說, 這些力的力矩總和等於零。從這個條件就得出了第二式。因此, 方程(1.1)是表示板在橫向受彎時的平衡的。

從方程(1.1)中消去橫向力  $N$ , 得:

$$\frac{\partial^2 G}{\partial s^2} + p_n = 0. \quad (1.2)$$

方程(1.2)的一般積分形式如下:

$$G(z, s) = G_{k-1}(z) \frac{d_k - s}{d_k} + G_k(z) \frac{s}{d_k} + G_k^0(z, s). \quad (1.3)$$

式中  $G_{k-1}(z)$  及  $G_k(z)$  各代表板的縱邊  $k-1$  及  $k$  單位長度的彎矩, 它們是坐標  $z$  的任意函數。這種彎矩與板平面中任意一點  $M$  的彎矩  $G(z, s)$  一樣, 如果它使寬度為  $dz=1$  的橫向單元梁底面的纖維產生拉伸, 我們就認為它是正的。字母  $d_k$  代表  $k$  板的寬度,  $s$  代表沿板寬方向的各點的流動坐標; 這個坐標就是由板的  $k-1$  边到  $M$  點的距離。公式(1.3)中, 以  $G_k^0(z, s)$  来代表的最後一項, 是當假設橫向單元梁在  $k-1$  及  $k$  線上為鉸支承時, 由於梁上的橫向荷載  $P_n = P_n(z, s)$  所產生的彎矩。函數  $G_k^0(z, s)$  是非齊次方程(1.2)的特別積分, 它在  $s=0$  及  $s=d_k$  時等於零。

公式(1.3)說明, 某  $k$  板的橫向彎矩  $G(z, s)$  和梁彎曲理論中的彎矩完全一樣。不同的

是板的弯矩被看作是一个函数，这个函数不仅与單元条形截面沿板寬的位置有关，而且也与沿板長的位置有关。

如果該板不承受法向表面荷載( $P_n=0$ )，則公式(1.3)的形式就更簡單：

$$G(z, s) = G_{k-1}(z) \frac{d_k - s}{d_k} + G_k(z) \frac{s}{d_k}. \quad (1.4)$$

由此公式可知，棱壳中，当外力都作用在壳肋上，而且沿肋長按任意規律分布时，横向弯矩 $G(z, s)$ (为坐标 $s$ 的函数)在板寬範圍內按直線規律变化。弯矩 $G(z, s)$ 的图形在周線的各直線段上將為一梯形，同时，梯形兩端的縱标就是横向多邊形結点的弯矩，結点弯矩与坐标 $z$ 有关，而坐标 $z$ 决定着横向單元条形 $dz=1$ 沿壳長的位置。

設公式(1.3)中为坐标 $z$ 的函数的弯矩 $G_{k-1}(z)$ 及 $G_k(z)$ 为已知，我們就可以求出板中任一点的横向力 $N(z, s)$ 。它可根据(1.1)的第二方程取弯矩 $G(z, s)$ 对坐标 $s$ 的偏微分来求出。

$$N(z, s) = \frac{1}{d_k} [G_k(z) - G_{k-1}(z)] + N_k^0(z, s). \quad (1.5)$$

式中 $N_k^0(z, s)$ 为作用在横向單元單跨梁 $dz=1$ 上的外部荷載 $P_n(z, s)$ 所产生的横向力。該梁与起始截面 $z=0$ 相距 $z=$ 常数的距离，而在 $s=0$ 及 $s=d_k$ 兩端为铰支座。

根据弯矩 $G_{k-1}(z)$ 及 $G_k(z)$ 我們也可以求得板的横向弯曲变形。單元梁 $dz=1$ 由支座弯矩 $G_{k-1}(z)$ 、 $G_k(z)$ 及梁上的横向荷載 $p_n(z, s)$ 所产生的支座截面旋轉角的公式为：

$$\left. \begin{aligned} \theta_{k-1}(z) &= \frac{d_k}{6EJ_k} [2G_{k-1}(z) + G_k(z)] + \theta_{k-1}^0(z); \\ \theta_k(z) &= \frac{d_k}{6EJ_k} [G_{k-1}(z) + 2G_k(z)] + \theta_k^0(z). \end{aligned} \right\} \quad (1.6)$$

式中 $J_k$ 为梁的慣性矩，該梁的截面寬 $dz=1$ ，高度 $\delta_k$ 等于 $k$ 板板厚：

$$J_k = \frac{1 \times \delta_k^3}{12}; \quad (1.7)$$

$\theta_{k-1}^0(z)$ 、 $\theta_k^0(z)$ 为單跨簡支單元梁由位于其上的横向外部荷載 $p_n(z, s)$ 所产生的支座截面旋轉角。此角可由已知的材料力学方法求得。

如果截面是沿相应正弯矩 $G_{k-1}(z)$ 、 $G_k(z)$ 方向旋轉的(如图6中所示)，則由公式(1.6)算出的單元梁支座截面的旋轉角为正。

現在我們來研究一下仅仅在縱方向有伸長变形的矩形窄板的平面应力状态問題。

板在位于其平面以內的力的作用下，其变形状态在一般情形下取决于中間面各点的位移。

設 $u=u(z, s)$ 及 $v=v(z, s)$ 各代表任一点 $M$ 在坐标 $z$ 及 $s$ 方向的位移(图7)。

这种位移和法向位移 $w=w(z, s)$ 不同，以后我們將称它为縱向及横向的切向位移。

对于板的变形分量，我們可有公式：

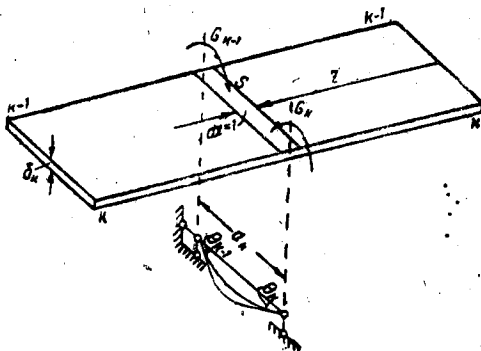


圖 6

$$\left. \begin{aligned} \epsilon_1 &= \frac{\partial u}{\partial z}; \\ \epsilon_2 &= \frac{\partial v}{\partial s}; \\ \gamma &= \frac{\partial u}{\partial z} + \frac{\partial v}{\partial s}. \end{aligned} \right\} \quad (1.8)$$

在考虑了以  $ds$  及  $dz$  为边的板單元体  $Mabc$  (图 8) 的变形后, 是不难得出这些公式的(图 8)。

公式(1.8)的第一式用于計算板縱向單元  $Ma = dz$  的相对伸長, 該單元的長度在变形后数量上增大了  $\frac{\partial u}{\partial z} dz$ 。第二式是对另一沿板寬方向的綫性單元  $Mb = ds$  的伸長变形來說的。最后一个式子用于計算坐标綫  $z = \text{常数}$  及  $s = \text{常数}$  之間的夾角的相对改变。此角在变形前为一直角。变形后, 当剪切  $\gamma$  为正时, 变为銳角。 $\gamma$  值在位移很小的情形下, 取等于角  $r_1$  及  $r_2$  的正切和, 角  $r_1$  及  $r_2$  为直角二邊  $Ma$  及  $Mb$  变形后在板平面中所旋轉的角。

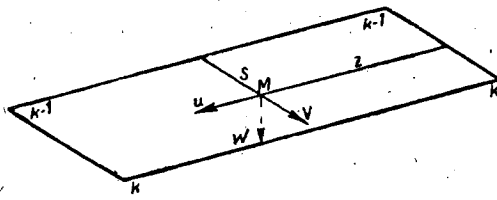


圖 7

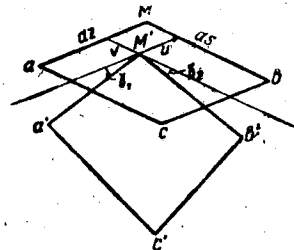


圖 8

根据我們所采用的假定, 当壳变形时, 中間面沿橫截面周綫  $z = \text{常数}$  并不产生拉伸, 而且坐标綫  $z = \text{常数}$  与  $s = \text{常数}$  之間的直角也沒有改变, 所以对于壳的構件——板, 我們應該取:

$$\left. \begin{aligned} \frac{\partial v}{\partial s} &= 0; \\ \frac{\partial u}{\partial s} + \frac{\partial v}{\partial z} &= 0. \end{aligned} \right\} \quad (1.9)$$

因此, 方程(1.9)表明着基本的几何假定。由此方程我們可以求得  $k$  板位移  $u$  及  $v$  的下列公式:

$$\left. \begin{aligned} v(z, s) &= v_k(z); \\ u(z, s) &= -v'_k(z)s + u_k(z). \end{aligned} \right\} \quad (1.10)$$

式中  $u_k(z)$  及  $v_k(z)$  为仅与坐标  $z$  有关的任意函数,  $u_k$  属于  $k$  肋, 而  $v_k$  属于  $k$  板;  $v'_k(z)$  为函数  $v_k(z)$  对坐标  $z$  的导微数。

尾号  $k$  表明該位移属于具有尾号  $k$  的板。

(1.10)的第一式說明, 板上任一点  $M$  的横向切向位移与此点沿板寬上的位置无关。

所有在直線  $z = \text{常数}$  上各點  $M$  的橫向位移皆為同一數值，且此位移僅由一  $v_k(z)$  值所決定。 $v_k(z)$  代表板在自身平面內彎曲時任意一縱向纖維的撓度。

如果橫截面向  $s$  坐標的增長一侧移動（如圖 9 中所示），則我們認為此撓度是正的。

由 (1.10) 的第二式可知，沿板寬上的（坐標  $s$  的函數）縱向位移  $u(z, s)$  為直線的規律。任意點  $M$  的縱向位移  $u(z, s)$  為兩個數值所組成，其中包括：

(1) 位移  $u_k(z)$  —— 通過已知點  $M$  的整個  $z = \text{常数}$  的截面沿  $z$  軸方向（沿板長）的平行移動，及  
(2) 位移  $v'_k(z)$  —— 由於整個截面在板中間面上的旋轉角而產生的位移，這種旋轉角（因數值很小）等於板在本身平面內的撓度曲線的切線與  $z$  軸傾斜角的正切，而符號則相反。

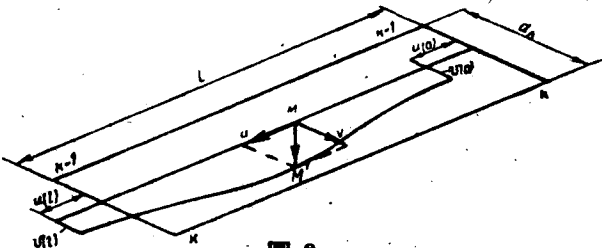


圖 9

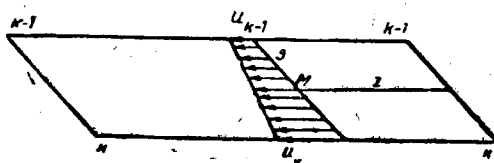


圖 10

如果採用橫板截面端點的縱向位移  $u_{k-1}(z), u_k(z)$  作為僅與坐標  $z$  有關的基本函數，則我們將賦予縱向位移的公式以另外一種形式。

考慮到位移  $u(z, s)$  沿板寬成直線分布的規律，可得（圖 10）：

$$u(z, s) = u_{k-1}(z) \frac{d_k - s}{d_k} + u_k(z) \frac{s}{d_k}. \quad (1.11)$$

和前面一樣，式中  $d_k$  代表  $k$  板的寬度； $s$  代表縱向邊緣  $k-1$  至  $M$  點的距離（圖 10）。

根據位移  $u(z, s)$  我們可以得出板沿縱方向的相對伸長。將等式 (1.11) 對  $z$  微分一次，並將  $u'_{k-1}(z), u'_k(z)$  用板中間面在截面  $z = \text{常数}$  上兩端點  $s=0, s=d_k$  的相對縱向伸長  $\epsilon_{k-1}(z), \epsilon_k(z)$  來表示，得出：

$$\epsilon(z, s) = \epsilon_{k-1}(z) \frac{d_k - s}{d_k} + \epsilon_k(z) \frac{s}{d_k}. \quad (1.12)$$

按照虎克定律由公式 (1.12) 可得出一個簡明的等式：

$$\sigma(z, s) = \sigma_{k-1}(z) \frac{d_k - s}{d_k} + \sigma_k(z) \frac{s}{d_k}, \quad (1.13)$$

式中  $\sigma$  代表縱向應力。

綜合上面的分析可知，壳的每個矩形板，在平面應力狀態下，當其廣向伸長變形及剪切變形不存在時，就切線位移  $u$  及  $v$ ，縱向伸長變形  $\epsilon$  以及縱向法向應力  $\sigma(z, s)$  來說，可當作一矩形截面梁，按梁的初等彎曲理論來考慮。板的橫截面在變形前為一平面，變形後仍為一平面，且與撓度曲線  $v(z)$  相垂直。

縱向法向應力  $\sigma(z, s)$  在每個板寬的範圍內沿  $z = \text{常数}$  截面按直線規律分布。 $k$  板的這種應力只取決於這坐標  $z$  的兩個函數，以後我們取板的縱向邊緣的伸長變形  $\epsilon_{k-1}(z)$

及  $\epsilon_k(z)$  作为这种函数。根据虎克定律，它与板横截面兩端的法向应力  $\sigma_{k-1}(z)$  及  $\sigma_k(z)$  成比例。

設在方程：

$$\left. \begin{aligned} \frac{\partial u}{\partial z} &= \epsilon_{k-1}(z) \frac{d_k - s}{d_k} + \epsilon_k(z) \frac{s}{d_k}, \\ \frac{\partial u}{\partial s} + \frac{\partial v}{\partial z} &= 0, \end{aligned} \right\} \quad (1.14)$$

中，函数  $\epsilon_{k-1}(z)$  及  $\epsilon_k(z)$  为已知，將此方程积分，即得：

$$\left. \begin{aligned} u(z, s) &= \frac{d_k - s}{d_k} \int \epsilon_{k-1}(z) dz + \frac{s}{d_k} \int \epsilon_k(z) dz + \\ &+ \frac{d_k - s}{d_k} u_{k-1}(0) + \frac{s}{d_k} u_k(0); \\ v(z) &= -\frac{1}{d_k} \int \int [\epsilon_k(z) - \epsilon_{k-1}(z)] dz^2 - \frac{z}{d_k} [u_k(0) - u_{k-1}(0)] + v_k(0). \end{aligned} \right\} \quad (1.15)$$

式中  $u_{k-1}(0)$  及  $u_k(0)$  为起始截面  $z = 0$  兩端点  $k-1, k$  的縱向位移， $v_k(0)$  为板在同一截面中的撓度（參看图 9）。

应用公式(1.15)，加以將板作为一剛体时板在本身平面內的位移的修正，然后根据已知的縱向边缘变形  $\epsilon_{k-1}(z), \epsilon_k(z)$ ，即可求得板中任一点  $M$  的縱向位移  $u(z, s)$  及板中任一截面的撓度  $v(z)$ 。

現在設板的縱向边缘伸長变形  $\epsilon_{k-1}(z), \epsilon_k(z)$  为已知，我們轉而来求板的內力和外力。对于板横截面兩端的法向应力  $\sigma_{k-1}(z), \sigma_k(z)$ ，有公式：

$$\left. \begin{aligned} \sigma_{k-1}(z) &= E \epsilon_{k-1}(z), \\ \sigma_k(z) &= E \epsilon_k(z). \end{aligned} \right\} \quad (1.16)$$

式中  $E$  为板縱向受拉(压)的彈性模量。

任一点  $M$  处的应力  $\sigma(z, s)$  可由 (1.16) 的比例关系及公式(1.13)求出。

設由板中取出一条形單元  $dz$ ，并在条形的截面  $z = \text{常数}$  及  $z + dz = \text{常数}$  上各加以与板的变形状态相应的縱向法向应力(图11)。

因为这些力是  $z$  的函数，故当它们由  $z = \text{常数}$  的截面轉到  $z + dz = \text{常数}$  的截面上时，将有所增加，所以为了保持条形單元的平衡，沿条形單元的  $s = 0, s = d_k$  边緣尚需加以板平面內沿縱向边缘作用的外力。以  $S_{k-1}(z)$  及  $S_k(z)$  代表这种外力的集度，并假定其方向在沿  $z$  軸的正方向时为正(如图 2 a 所示)，我們就得出它们的公式为：

$$\left. \begin{aligned} S_{k-1}(z) &= \frac{F_k}{6} [2\sigma'_{k-1}(z) + \sigma'_{k-1}(z)]; \\ S_k(z) &= -\frac{F_k}{6} [\sigma'_{k-1}(z) + 2\sigma'_{k-1}(z)]. \end{aligned} \right\} \quad (1.17)$$

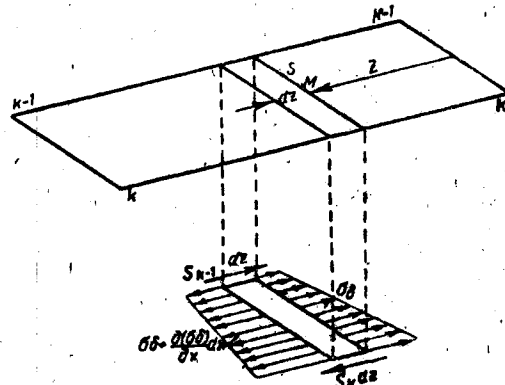


圖 11

式中,  $F_k$  代表板的横截面面积:

$$F_k = d_k \delta_k. \quad (1.18)$$

标以一撇的代表应力的导微数。此应力,根据公式(1.16)与板的、用  $z$  的函数来表示的已知纵向边缘伸长变形形成比例。

这样,应用公式(1.17)就可以求出外剪力  $S_{k-1}(z)$  及  $S_k(z)$ , 这种剪力应作用在板的纵向边缘上, 以产生已知的伸长变形  $\epsilon_{k-1}(z)$  及  $\epsilon_k(z)$ , 或与它相当的、板边缘纤维的应力  $\sigma_{k-1}(z)$  及  $\sigma_k(z)$ 。

这种力,即是当板的边缘纤维按任意已知规律随坐标  $z$  的变化而伸长时,与板变形状态相应的荷载。

任一点  $M$  处剪力  $S(z, s)$  的公式,可根据沿板宽由坐标  $s$  所划出的条形单元的部分的平衡条件得出,此公式即为(图12):

$$S(z, s) = \frac{F_k}{6} \left[ \sigma'_{k-1}(z) \left( 2 - \frac{6s}{d_k} + \frac{3s^2}{d_k^2} \right) + \sigma'_k(z) \left( 1 - \frac{3s^2}{d_k^2} \right) \right]. \quad (1.19)$$

由此公式所得出的剪力  $S(z, s)$ , 其正负号规定如下:假如  $S$  作用于外向法线指向坐标  $s$  增长一侧的纵截面面积上,且  $S$  是沿  $z$  轴方向作用的,则  $S$  为正。

公式(1.19)表明剪力  $S(z, s)$  在板横截面上按二次抛物线规律分布,在截面的两端与相应的纵向力  $S_{k-1}(z)$ 、 $S_k(z)$  相等。

纵向力  $S_{k-1}(z)$  及  $S_k(z)$  是由公式(1.17)所得出的。

现在我们来计算作用在板横截面上、并且位于板平面内的横截力  $Q_k(z)$ 。我们认为,如果力  $Q_k(z)$  作用在外向法线指向  $z$  轴方向的截面面积  $z = \text{常数}$  上,而且  $Q$  力方向是指向坐标  $s$  增长的一侧时,则  $Q$  为正。故有:

$$Q_k(z) = \int_0^{d_k} S(z, s) ds. \quad (1.20)$$

将(1.19)代入式中,得出:

$$Q_k(z) \equiv 0. \quad (1.21)$$

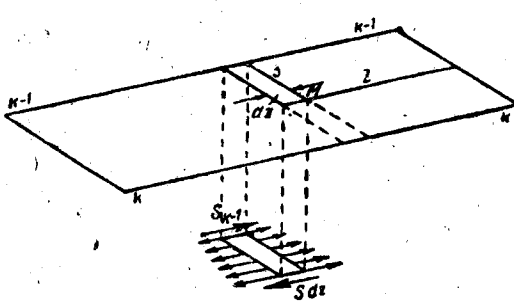


圖 12

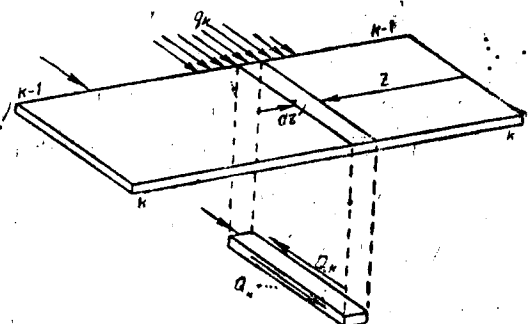


圖 13

由此等式可知,在由公式(1.19)所决定的剪力  $S(z, s)$  的情况下,作用在板平面内的外部线性横向荷载  $q_k(z)$ ,无论独立变数  $z$  为何值,将恒等于零。因为此荷载与横向力具有下列静力方程的关系(图13):

$$q_k(z) \equiv -Q'_k(z) \quad (1.22)$$

在我們所考慮的板的平面应力狀態的情況下，剪力  $S(z, s)$ ，在整個  $z =$  常數的截面上，在靜力方面歸結為等於零的橫向力。如果在板上作用有沿板長按已知規律分布的線性橫向荷載  $q_k(z)$ ，同時在板的縱向邊緣上存在有用  $z$  函數來表示的已知伸長變形  $\epsilon_{k-1}(z)$ 、 $\epsilon_k(z)$ ，則在由公式(1.19)所求得的剪力上，尚應加以由於橫向荷載  $q_k(z)$  所產生的力。我們將得出更一般的公式，其形式如下：

$$S(z, s) = \frac{F_k}{6} \left[ \sigma'_{k-1}(z) \left( 2 - \frac{6s}{d_k} + \frac{3s^2}{d_k^2} \right) + \sigma'_k(z) \left( 1 - \frac{3s^2}{d_k^2} \right) \right] + \frac{1}{d_k} Q_k(z) \quad (1.23)$$

式中  $Q_k(z)$  為截面  $z =$  常數上的橫向力，此力與已知外力橫向荷載  $q_k(z)$  具有微分方程(1.22)的關係(圖13)。

若使公式(1.23)中的  $\sigma'_{k-1}(z)$ 、 $\sigma'_k(z)$  等於零，即表明板的縱向邊緣具有限制縱向位移  $u_{k-1}(z)$ 、 $u_k(z)$  的連繫，那麼板的條形單元  $dz=1$  將處於純剪切的狀態中。各法向應力  $\sigma$  都等於零，而剪力  $S$  根據公式

$$S = \frac{Q_k(z)}{d_k} \quad (1.24)$$

沿板寬保持不變。此力乘以板寬  $d_k$  即得出與已知橫向荷載  $q_k(z)$  平衡的橫向力  $Q_k$ 。

在梁的初等彎曲理論中，當求橫向力時，一般都應用所謂什維德烈爾一如拉夫斯基的定理，根據這個定理橫向力等於彎矩的導微數。這個定理，正如我們將要証明的，並不是經常都適用的。

如果梁的縱向邊緣伸長變形等於零，則各點的法向應力將等於零，因此，彎矩也將等於零。然而，橫向力就不一定等於零。如果從(1.19)公式來看，則由此公式算出來的剪力所產生的橫向力  $Q(z)$  恒等於零。但是在  $\sigma'_{k-1}(z)$ 、 $\sigma'_k(z)$  為任意函數的情形下，根據(1.13)式所求得的截面  $z =$  常數上的法向應力  $\sigma(z, s)$ ，除了縱向法向力以外，還給出了彎矩，並且這個彎矩的導微數不等於零。

我們在這裡所引用的、在某種意義上說是完全相反的兩個例子說明，在梁受彎曲的情形下，橫向力並不是經常都能作為彎矩的導微數來求得的。其所以與這個通用的定理相違背，是由於在我們所考慮的問題中，板不只受到橫向荷載的作用，而且也受到縱向邊緣外剪力作用。

現在簡短的談一下關於剪切變形的假定。我們假定此變形等於零。但是剪力在我們的理論中和在梁的普通彎曲理論中一樣，並不等於零，並且這種剪力要由平衡方程來求得。

關於剪切變形的虎克定律的形式如下：

$$\tau = \frac{S}{G \delta_k} \quad (1.25)$$

式中  $G$  為剪切彈性模量。

將公式(1.23)的剪力  $S$  代入式中，即可得出板中任一點的剪切變形  $\tau$ 。

前面我們已經証明了，如果板只受到位置在縱向邊緣並與邊緣伸長變形相應的力  $S_{k-1}(z)$ 、 $S_k(z)$  作用時，則截面  $z =$  常數上的橫向力  $Q_k(z)$  等於零。以此為根據我們可以十分精確的認為，對於組成壳的相當窄的板來說，只有由公式(1.23)的第二項所求得的剪